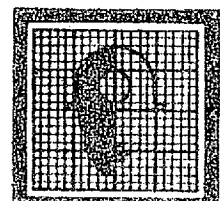


**MAPA GEOLOGICO DE ESPAÑA  
INFORMACION COMPLEMENTARIA  
VEGA DE ESPINAREDA  
(126)(10-08)**



**FOTOGRAFIAS DE CAMPO -1**

**1.977**



**IMINSA**



**IMINSA**

.1.

**20126**

MAPA GEOLOGICO DE ESPAÑA  
E. 1:50.000

Hoja nº 126 (10-08) VEGA DE ESPINAREDA

Documentación complementaria



**IMINSA**

.2.

**20126**

**FOTOGRAFIAS DE CAMPO - 1**

ingeniería minero industrial, s. a. - madrid - oviedo



**IMINSA**

.3.

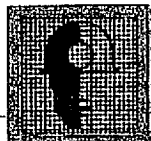
## 20126

FJ 0001.- Aspecto de la parte superior de la Caliza de Vegadeo. Alternancia de calizas y margas, la esquistosidad de flujo de primera fase transpone en parte a la estratificación. Esquistosidad de flanco normal. Valle del río Tejeira (CA<sub>1-2</sub>).

FJ 0002.- Pliegue de tipo kink correspondiente a la tercera fase de deformación afectando a la estratificación y a la esquistosidad de primera fase. Proximidades de Paradaseca.  
(CA<sub>2</sub>-O<sub>1</sub>P).

FJ 0003-0004-0005.- Fotografías de detalle del pliegue anterior. Observese la angulosidad de las charnelas (CA<sub>2</sub>-O<sub>1</sub>P).

FJ 0006.- Conglomerados neógenos rojizos con cantos flotantes en una matriz de limos arenosos (T<sub>1</sub>cg). Explotaciones romanas de oro al E de la pista de Paradaseca a Tejeira.



**IMINSA**

20126

.4.

FJ 0007.- Panoramica del Valle de Ancares realizada desde el alto de Llumeras. En la parte media de la fotografía se observa la Cuarci ta de Vega ( $O_3$ ) separando las pizarras y ampelitas silúricas (S), situadas a la derecha, de los materiales turbidíticos de la Formación Agüeira ( $O_{2-3}$ ).

FJ 0008-0009.- Pliegues correspondientes a la primera fase de deformación acompañados de una esquistosidad de flujo. Pizarras ya ampelitas silúricas (S). Carretera del alto de Llumeras al Valle de Ancares.

FJ 0010.- Aspecto de las areniscas laminadas de la Formación Agüeira ( $O_{2-3}$ ). Valle del río Ancares, al E de Villarbón.

FJ 0011.- Intervalo de "ripple drift" en las areniscas de la Formación Agüeira ( $O_{2-3}$ ). Valle del río Ancares.



**IMINSA**

.5.

20126

FJ 0012.- Capa de arenisca de la Formación Agüeira ( $O_{2-3}$ ) mostrando la división de granoclasificación y la división de laminación paralela en la parte superior. Valle del río Ancares.

FJ 0013.- Alternancias de areniscas, generalmente con laminación paralela, y pizarras. Formación Agüeira ( $O_{2-3}$ ). Misma localidad de la foto anterior.

FJ 0014-0015-0016.- Marcas de corriente, principalmente "grooves", en los muros de las areniscas de la Formación Agüeira ( $O_{2-3}$ ). Obsérvese la existencia de dos direcciones de corriente formando un ángulo de unos 25°. Misma localidad que la foto anterior.

FJ 0017.- Formación Agüeira ( $O_{2-3}$ ). Capas comenzando con la división A de granoclasificación y con la división C de laminación entrecruzada. Proximidades de San Martín de Moreda.



IMINSA

.6.

20126

PE 2547.- En primer término la Cuarcita de Vega ( $O_3$ ) y en las tierras de labor los materiales neógenos ( $T^3$ ). Km. 21 de la Carretera de Ponferrada a Vega de Espinareda.

PE 2548.- Depósitos terciarios removilizados durante el cuaternario (Q). Ocero.

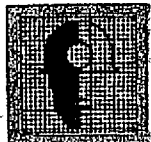
PE 2549.- "Ripple marks" en las capas de la Cuarcita de Vega ( $O_3$ ). Carretera de Ponferrada a Vega de Espinareda, Km. 25-26

PE 2550.- Superficie de fractura originando un espejo de falda en la Cuarcita de Vega ( $O_3$ ).

PE 2551.- Superficie de arrasamiento generada sobre los materiales plio-pleistocenos ( $T_2$ -Q). NE de Vega de Espinareda.

PE 2552.- Diaclasas trasversales afectando a la Cuarcita de Vega ( $O_3$ ). Cementerio de Vega de Espinareda.

PE 2553.- Cuarcita de Vega ( $O_3$ ). Valle del Cúa.



IMINSA

20146

.7.

PE 2554.- Vista general de las Pizarras de Luarca ( $O_2$ ) en el valle del río Cúa.

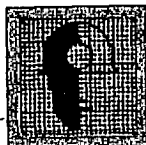
PE 2555.- Pliegue de pequeña amplitud correspondiente a la tercera fase de deformación y desarrollado en la parte baja de la Formación Agüeira ( $O_{2-3}$ ). Camino de Moreda a San Pedro de Olleros.

PE 2556.- En el primer término cuaternario aluvial (QAI a lo largo del río Cúa; los materiales situados en segundo plano corresponden a las Pizarras de Luarca ( $O_2$ ). Cerca de Espanillo.

PE 2557.- Esquistosidad de flanco inverso en Pizarras de Luarca ( $O_2$ ). Valle del río Cúa.

PE 2558.- Formación Agüeira ( $O_{2-3}$ ); niveles proximales desarrollados hacia la parte media de la Formación. Valle del río Cúa.

PE 2597.- Diaclasas de gran tamaño desarrollando un "fringe" de unos 2 m. de ancho en la parte superior. Pizarras de Luarca ( $O_2$ ). Páramo del Sil.



IMINSA

20126

.8.

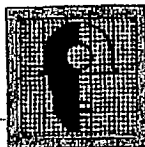
PE 2598 .- Diaclasas radiales o transversales de dirección NNE-SSW desarrolladas en Pizarras de Luarca( $O_2$ ). Pista de Páramo a Anllares.

PE 2599.- Pizarras de Luarca ( $O_2$ ). En la parte media de la fotografía se observan unas pequeñas fracturas llenas de cuarzo que presentan fibras de dirección E-W. Pista de Paramo a Anllares.

PE 2600-2601.- Aspecto general de la Formación Agüeira ( $O_{2-3}$ ) al N de San Pedro de Paradela.

PE 2602.- Capas con intervalos de laminación cruzada. Formación Agüeira ( $O_{2-3}$ ) N. de San Pedro de Paradela.

PE 2603.- Marcas orgánicas en los muros de las capas de la Formación Agüeira( $O_{2-3}$ ). N. de San Pedro de Paradela.



IMINSA

20126

.9.

PE 2604-2605.- "Slumps" en la Formación Agüeira ( $O_{2-3}$ )  
N. de San Pedro de Paradela.

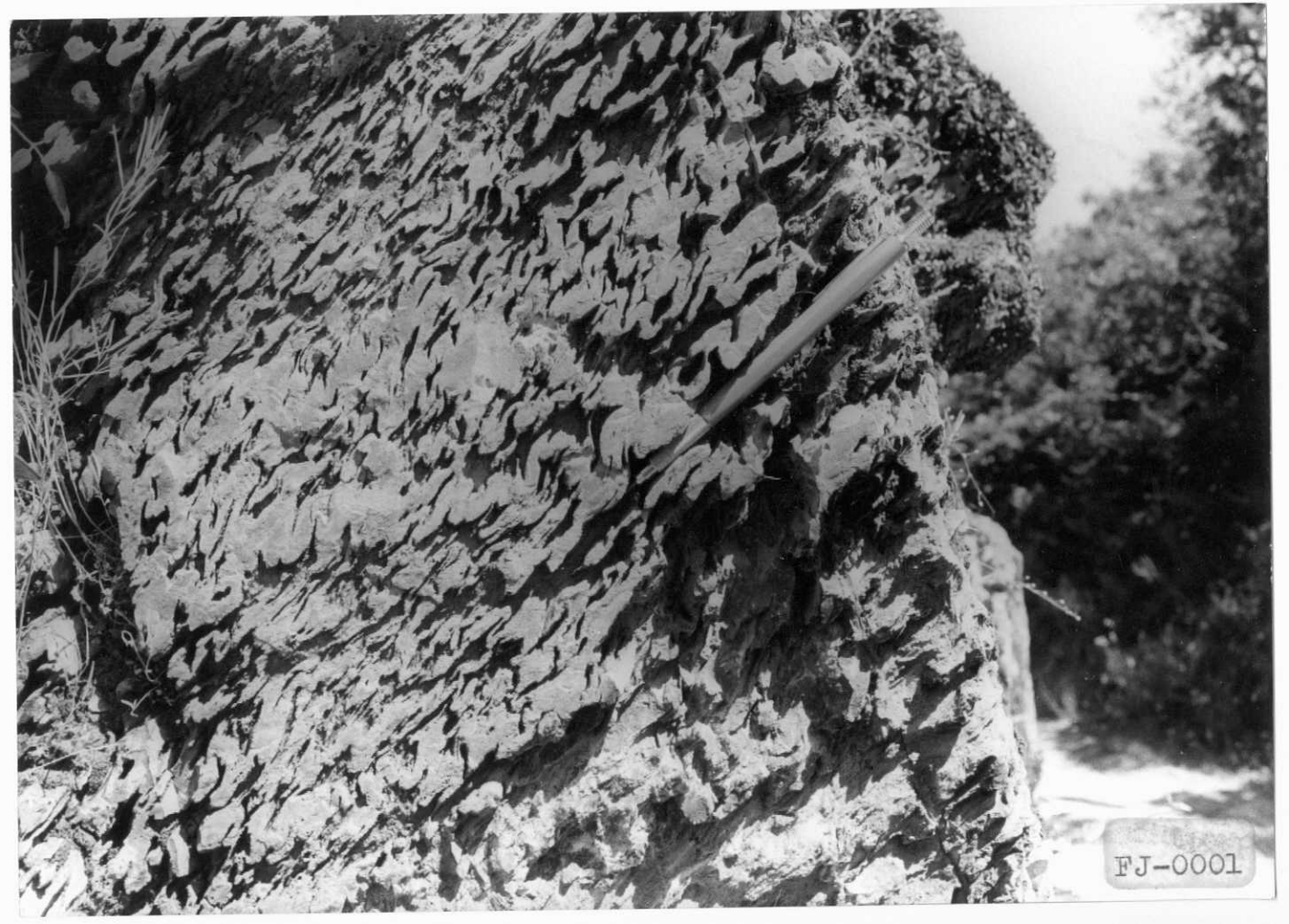
PE 2606-2607.- Aspecto de la Formación Agüeira ( $O_{2-3}$ )  
mostrando su ritmidad, las capas presentan divisiones de laminación paralela y cruzada. N. de San Pedro de Paradela.

PE 2608.- Formación Agüeira ( $O_{2-3}$ ). Capas comenzando por la división de laminación entrecruzada.  
N. de San Pedro de Paradela.

PE 2609.- Formación Agüeira ( $O_{2-3}$ ). Detalle de capas comenzando con la división entrecruzada.

PE 2610.- Formación Agüeira ( $O_{2-3}$ ). Grandes paleocanales en una parte proximal de la Formación.  
N. de San Pedro de Paradela.

PE 2611.- Falla limitando los materiales silúricos (S) (a la derecha) y la Formación Agüeira ( $O_{2-3}$ ) (a la izquierda). N de San Pedro de Paradela.



FJ-0001



FJ-0002



FJ-0003

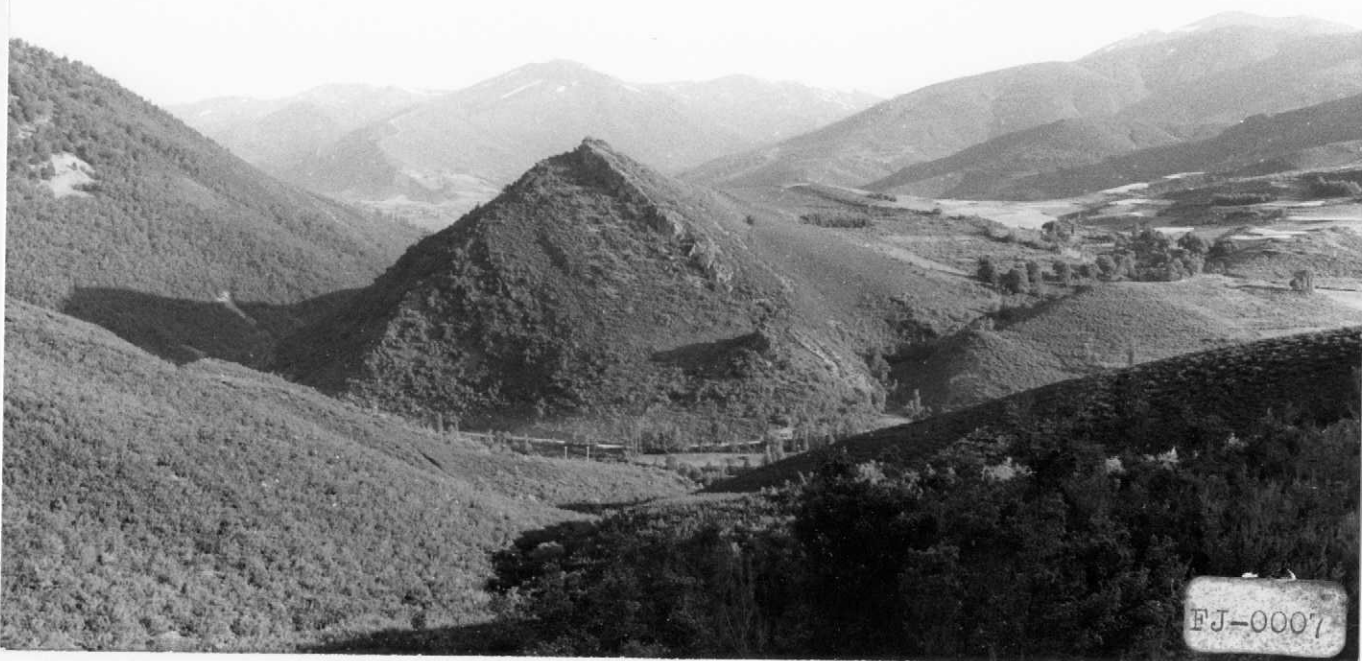




FJ-0005



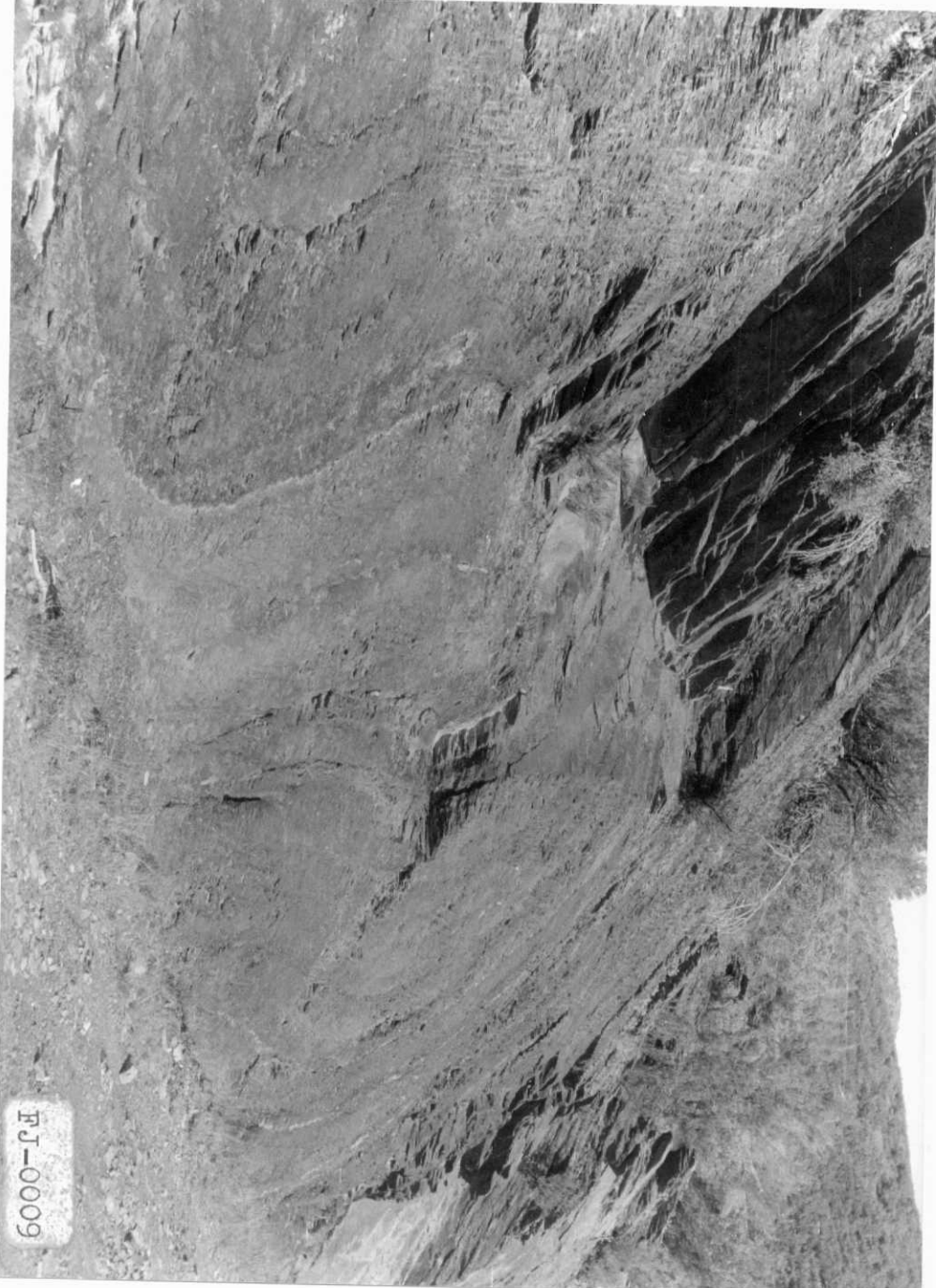
FJ-0006



FJ-0007

FJ-0008

FJ-0009





FJ-0010



FJ-0011

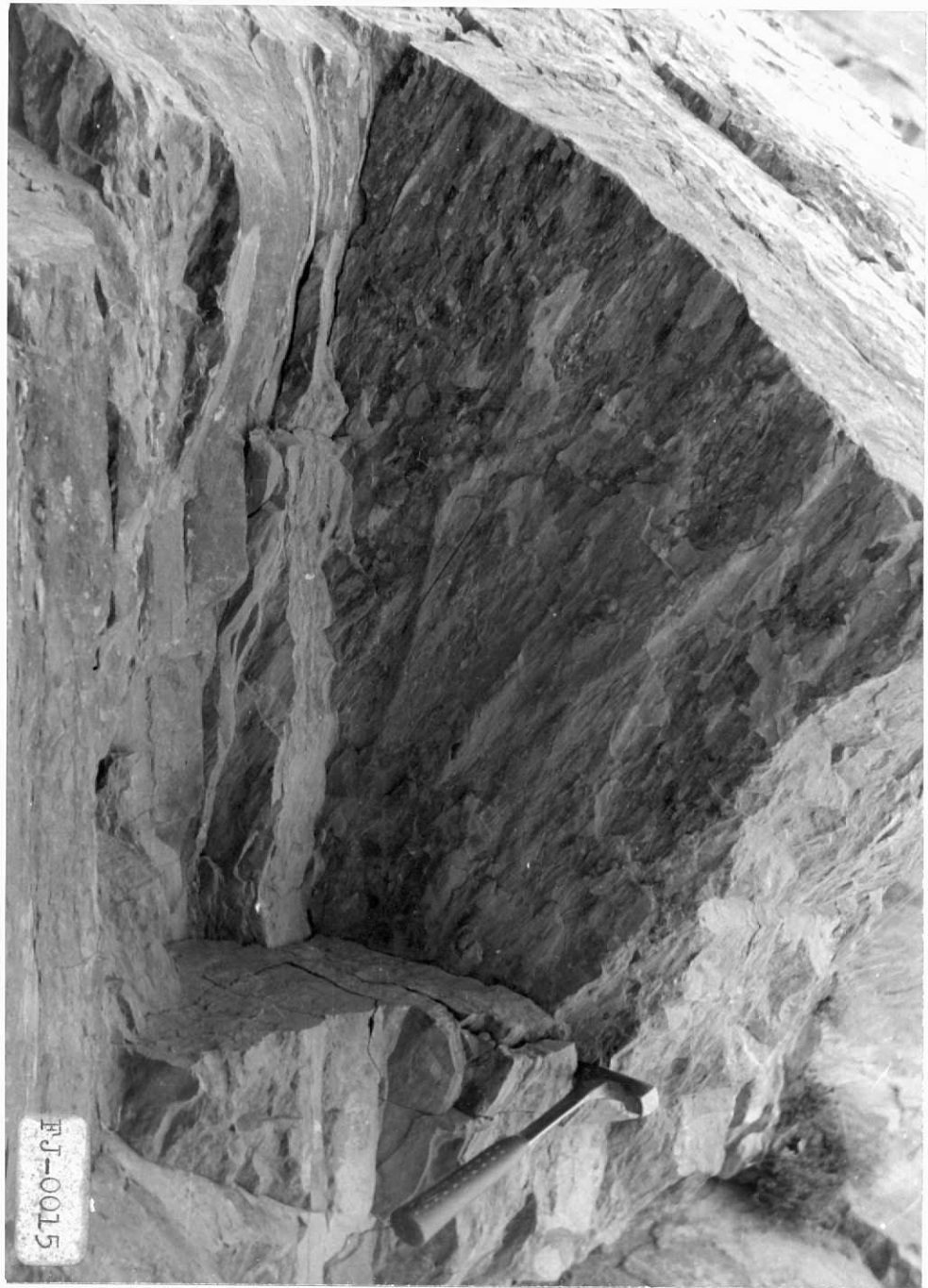
EJ-0912



FJ-0013



FJ-0014



FJ-00015

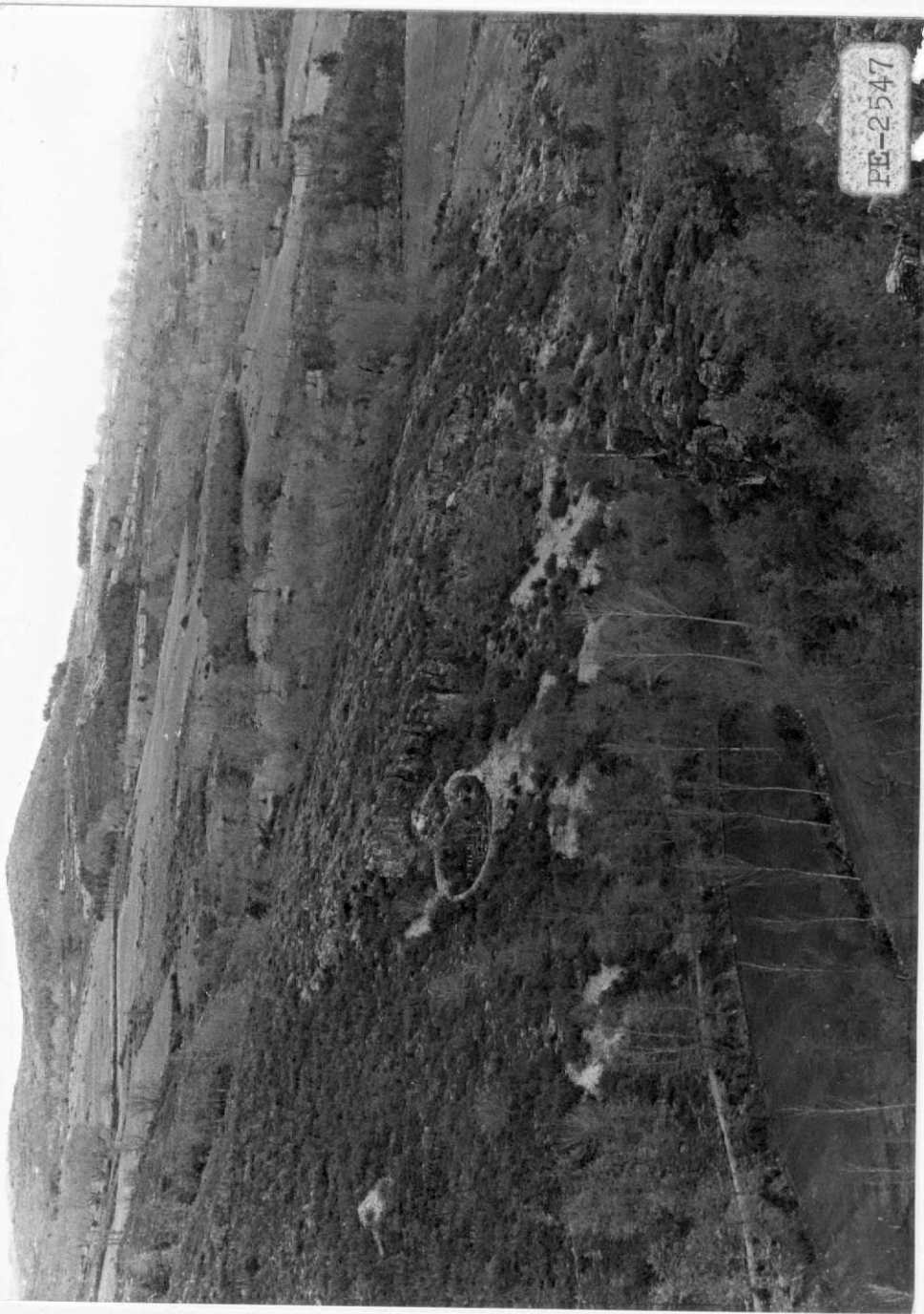


EJ-0016



FJ-0017

PE-2547

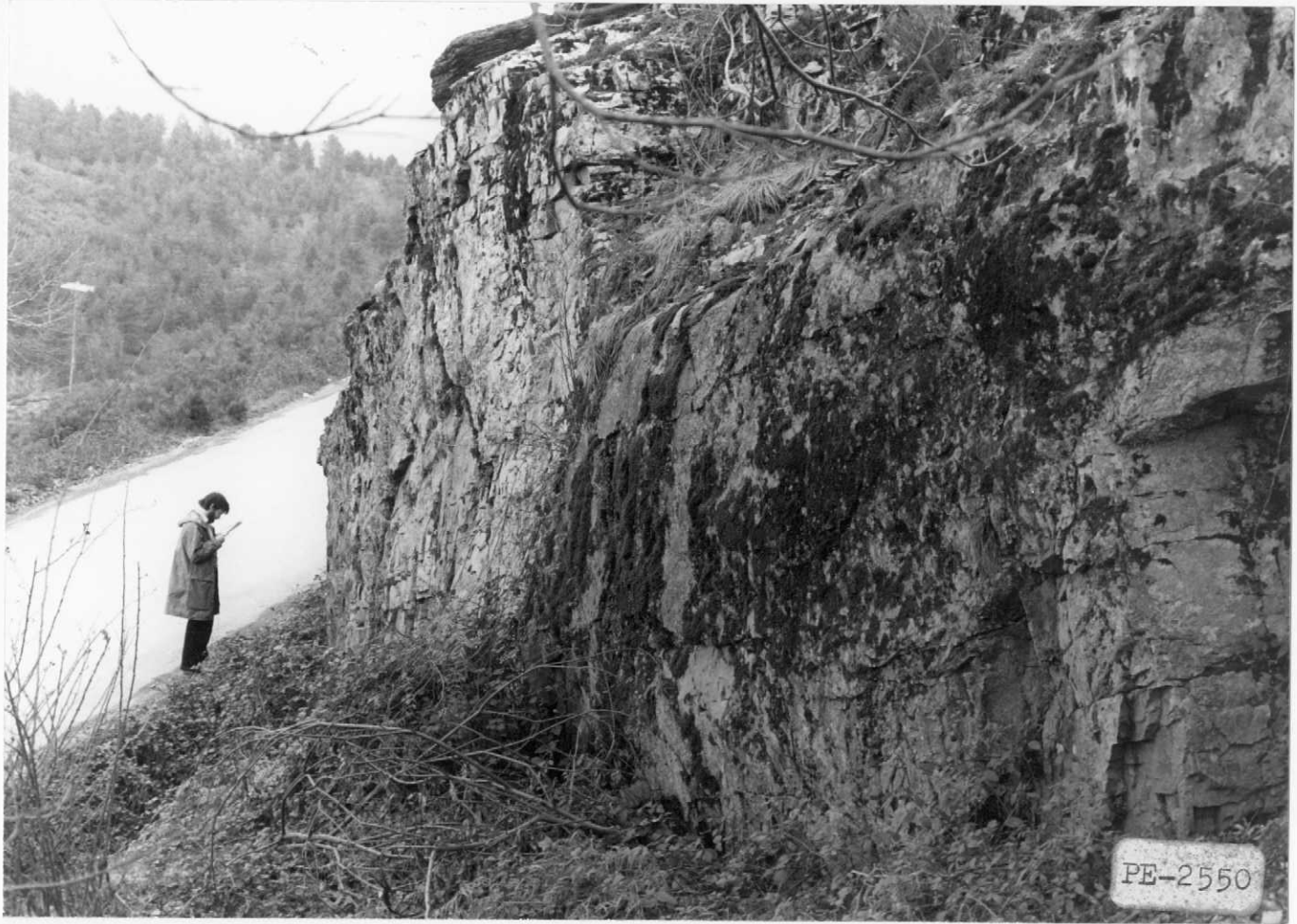


PE-2548





PE-2549



PE-2550



PE-2551

PE-2552





PE-2553



PE-2554



PE-2555

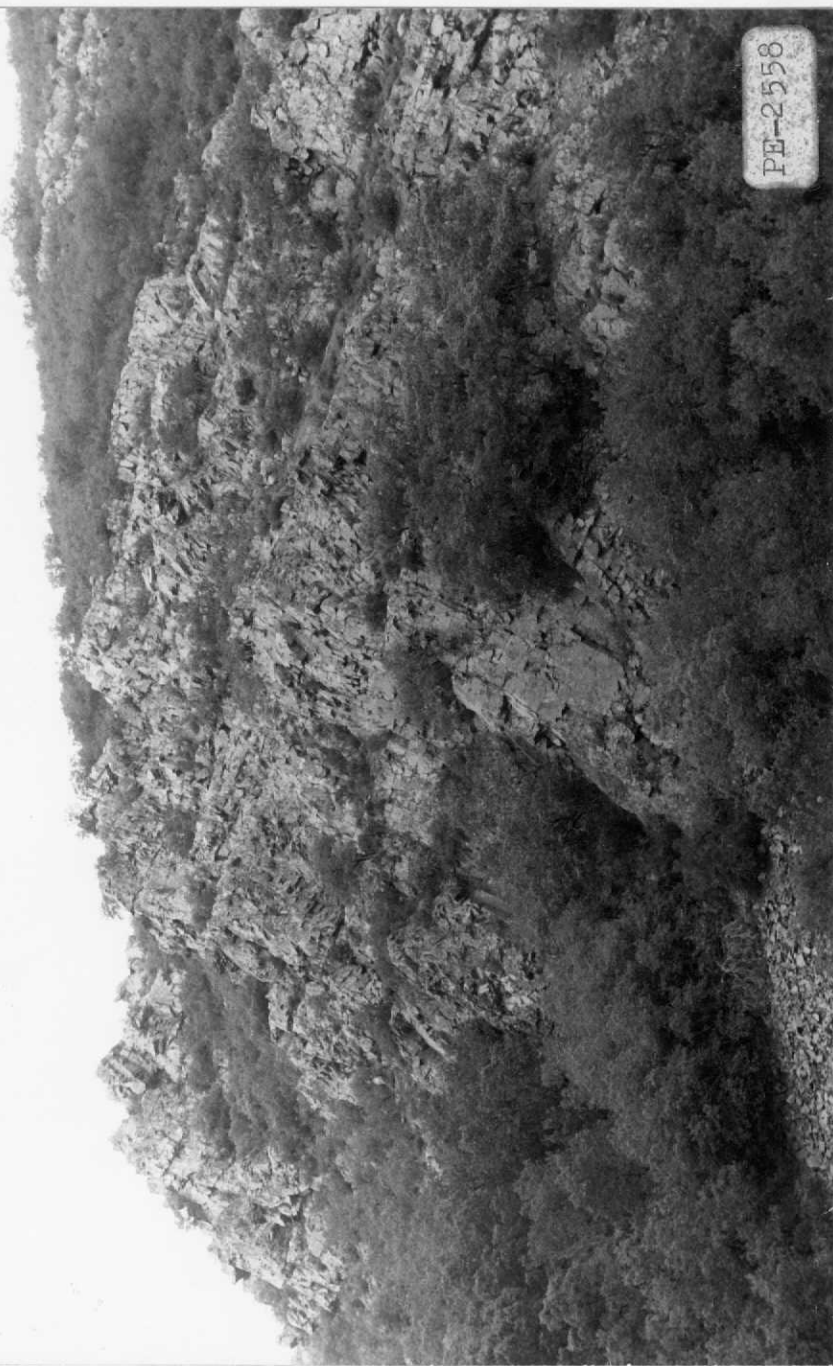


PE-2556

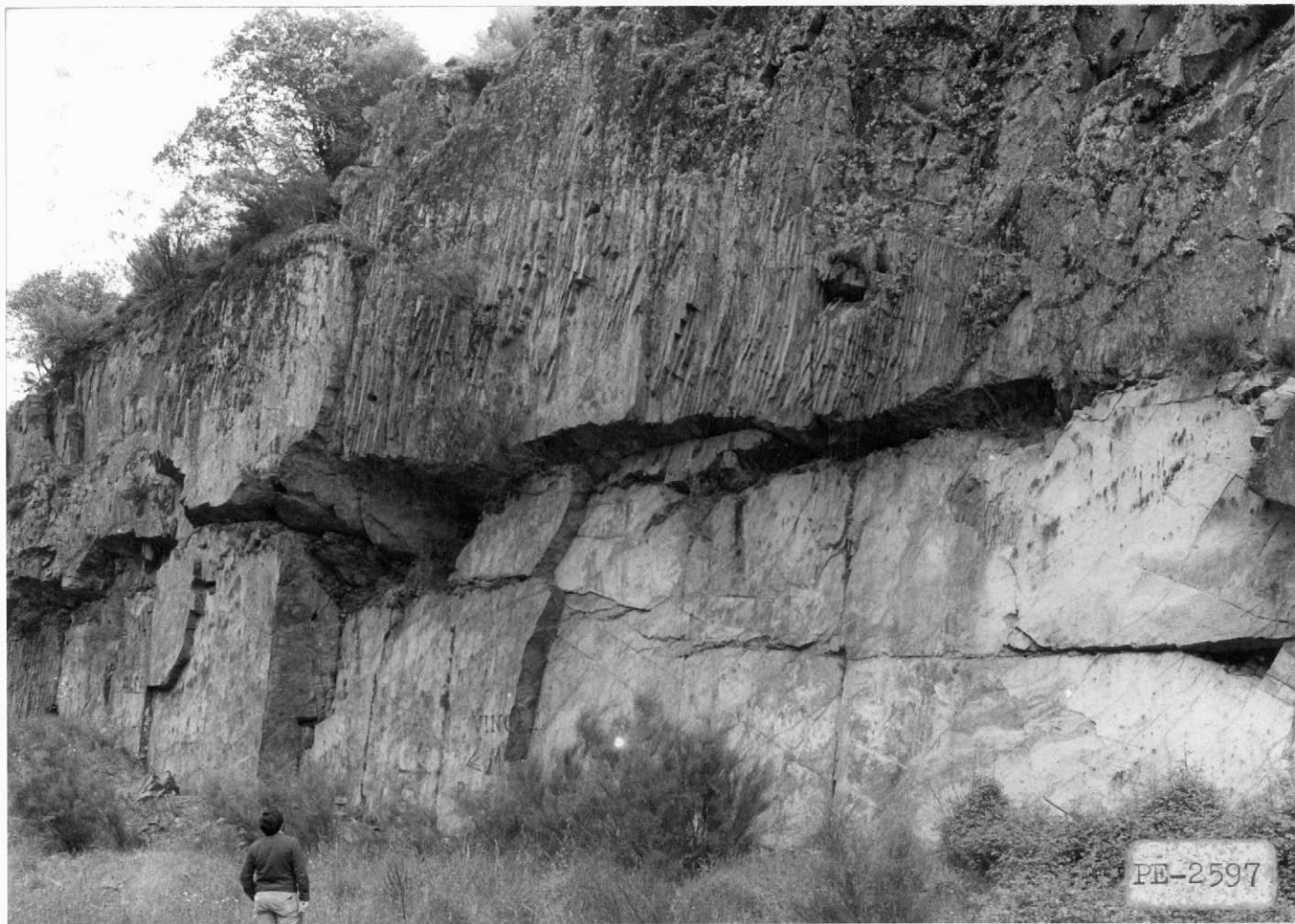
PE-2557



PE-2558



PE-2558



PE-2597

PE-2598





PE-2599

PE-2600



PE-2601





PE-2602



PE-2603



PE-2604

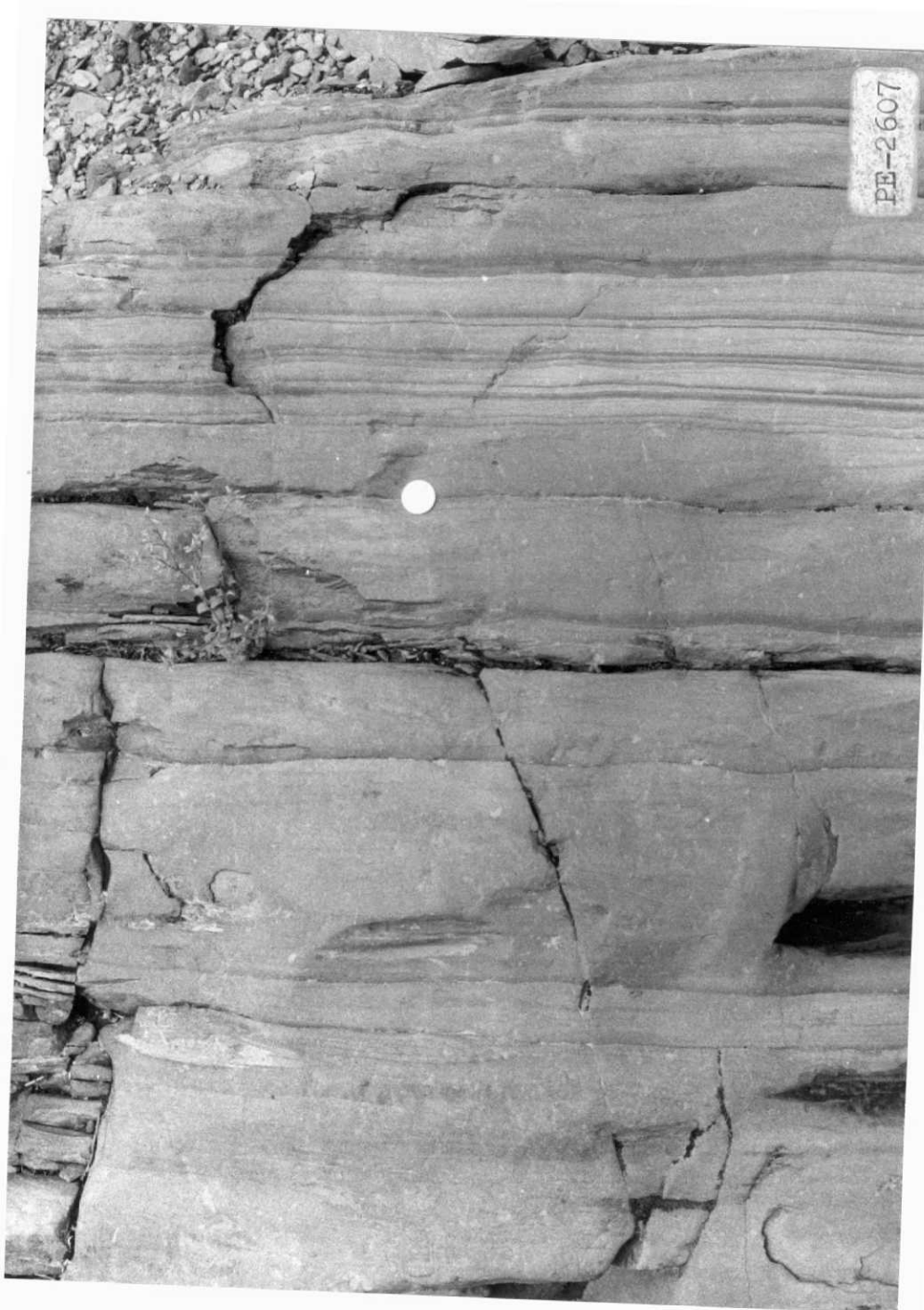
PE-2605





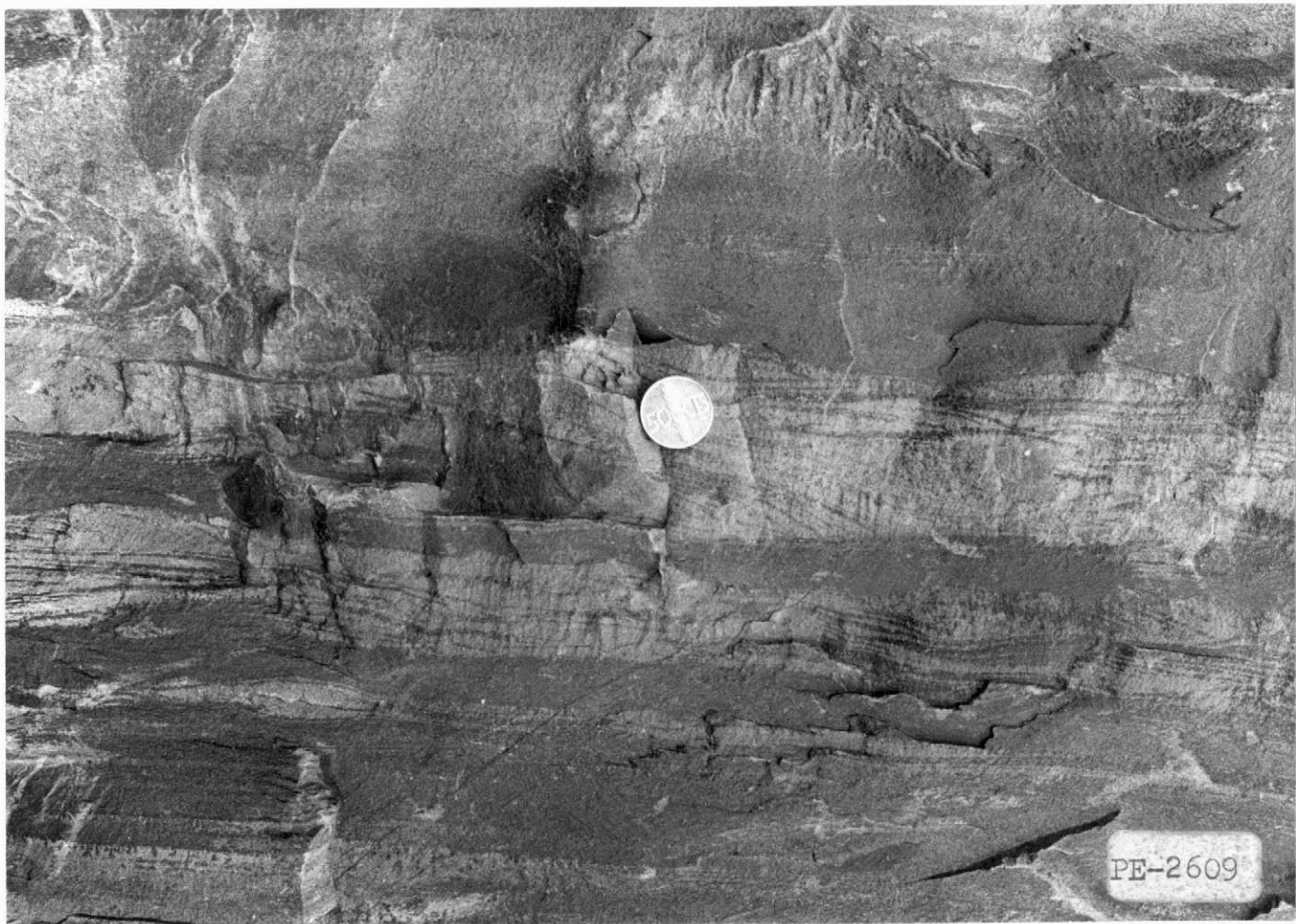
PE-2606

PE-2607



PE-2608





PE-2609



PE-2610



PE-2611